



PERÚ

Ministerio
de la Producción



IMARPE
INSTITUTO DEL MAR DEL PERÚ

BOLETÍN SEMANAL OCEANOGRÁFICO Y BIOLÓGICO-PESQUERO

Año 3, N°18

Semana 18: 30/04 - 06/05/2018

PRESENTACIÓN

El **Boletín Semanal Oceanográfico y Biológico Pesquero** es un producto de la Dirección General de Investigaciones Oceanográficas y Cambio Climático (DGIOCC) y de la Dirección de Investigaciones en Recursos Pelágicos (DGIRP) del Instituto del Mar del Perú (IMARPE).

Este producto presenta la evolución de variables físicas en la superficie del océano y atmósfera, así como de la estructura físico-química del océano frente a Paíta -lugar referente del mar peruano para la vigilancia climática asociada a El Niño-Oscilación del Sur- con el fin de comprender los efectos de la variabilidad de corto plazo en las condiciones oceanográficas y biológico-pesqueras del mar peruano. Esta información se sustenta en las redes observacionales que administra el IMARPE y que se han fortalecido en el marco del Programa Presupuesto Por Resultados - PPR 068 El Niño "Reducción de Vulnerabilidad y Atención de Emergencias por Desastres" y su producto "Entidades Informadas en for-

ma permanente y con pronósticos frente al Fenómeno El Niño".

Índices oceanográficos y pesqueros locales así como regionales y de macroescala y relevante información satelital del producto Temperatura Superficial del Mar y Análisis de Hielo Marino Operacional (OSTIA, en inglés) del Servicio Meteorológico del Reino Unido, así como del Servicio de Monitoreo del Ambiente Marino Copernicus (CMEMS, según sus siglas en inglés), complementan las observaciones *in situ*.

El Boletín espera contribuir a mejorar el conocimiento del mar peruano, informar de forma oportuna y permanente a diferentes grupos de interés como gestores, tomadores de decisiones, planificadores, agricultores, emprendedores, pesqueros, científicos y sociedad en general, así como coadyuvar a la gestión del riesgo de desastres naturales del Estado Peruano.

Productos y Servicios Oceanográficos

LHFM/AFIOF/DGIOCC/IMARPE

Callao, 07 de mayo, 2018

DIAGNOSTICO SEMANAL DEL MAR PERUANO

La Temperatura Superficial del Mar (TSM) presentó valores de 16,11°C (frente a 15°S-16°S) a 26,54°C (en 3°S), persistiendo la presencia de aguas de 27°C mar adentro hasta 9°S. Asimismo, de Paíta (5°S) al sur, se presenta una banda de temperaturas menores de 20°C que presenta un mayor gradiente térmico en el sector sur (Figura 1 a). La Salinidad Superficial del Mar satelital (Figura 1 b) continúa mostrando en la zona norte del mar peruano condiciones diferentes a las registradas mediante mediciones directas. Al sur de 10°S, la zona costera se caracteriza más bien por presentar zonas con valores de salinidad propios del régimen costero así como también zonas de mezcla. Las Aguas Subtropicales Superficiales del oeste (>35,1 UPS) indicaron un mayor acercamiento a la costa sur, presentando algunos núcleos frente al Callao (Figura 1 b). A escala regional, el sector oriental al este de 100°W, continúa presentando el mayor enfriamiento del área evaluada alcanzando hasta 3°C por debajo del promedio frente a Paíta (Figura 2). Con respecto a la semana anterior, la zona costera de Paíta presentó incremento de débil a moderado, mientras que hacia el sur predominó el enfriamiento del mar siendo más consistente por fuera del sector costero (Figura 3 d).

En la franja de ~100 km adyacente a la costa entre el ecuador y 21°S, el viento presentó velocidades entre 2,5 y 5,0 m/s, predominando anomalías negativas (< -1 m/s) en gran parte de la costa, con anomalías positivas focalizadas frente a Paíta, Pisco, San Juan y extremo sur los primeros días de la semana, mientras que en los últimos días del periodo, en la zona norte, ocurrieron condiciones normales, declinando hacia el sur. Al norte de Paíta prevalecieron vientos de dirección Sur; entre 5°S y 15°S, vientos de dirección Sureste, mientras que al sur de 15°S predominaron vientos de dirección Este Sureste y Sur Sureste (Figura 4 a). El nivel medio del mar presentó un incremento de las anomalías con valores superiores a 10 cm sobre el promedio en la zona norte y sur (Figura 4 b).

La última operación "Estación fija Paíta", localizada a 11 km de esta localidad, se realizó el 30 de abril distinguiéndose el ascenso de la isoterma de 17°C a la superficie del mar como también la profundización de la isoterma de 16 y 15°C determinando anomalías de -1°C en los primeros 50 m y condiciones próximas a lo normal en los 50 m inferiores. En toda la columna se presentaron Aguas Costeras Frías, propias del periodo (Figura 5).

I. CONDICIONES FÍSICAS DE MACROESCALA Y REGIONAL

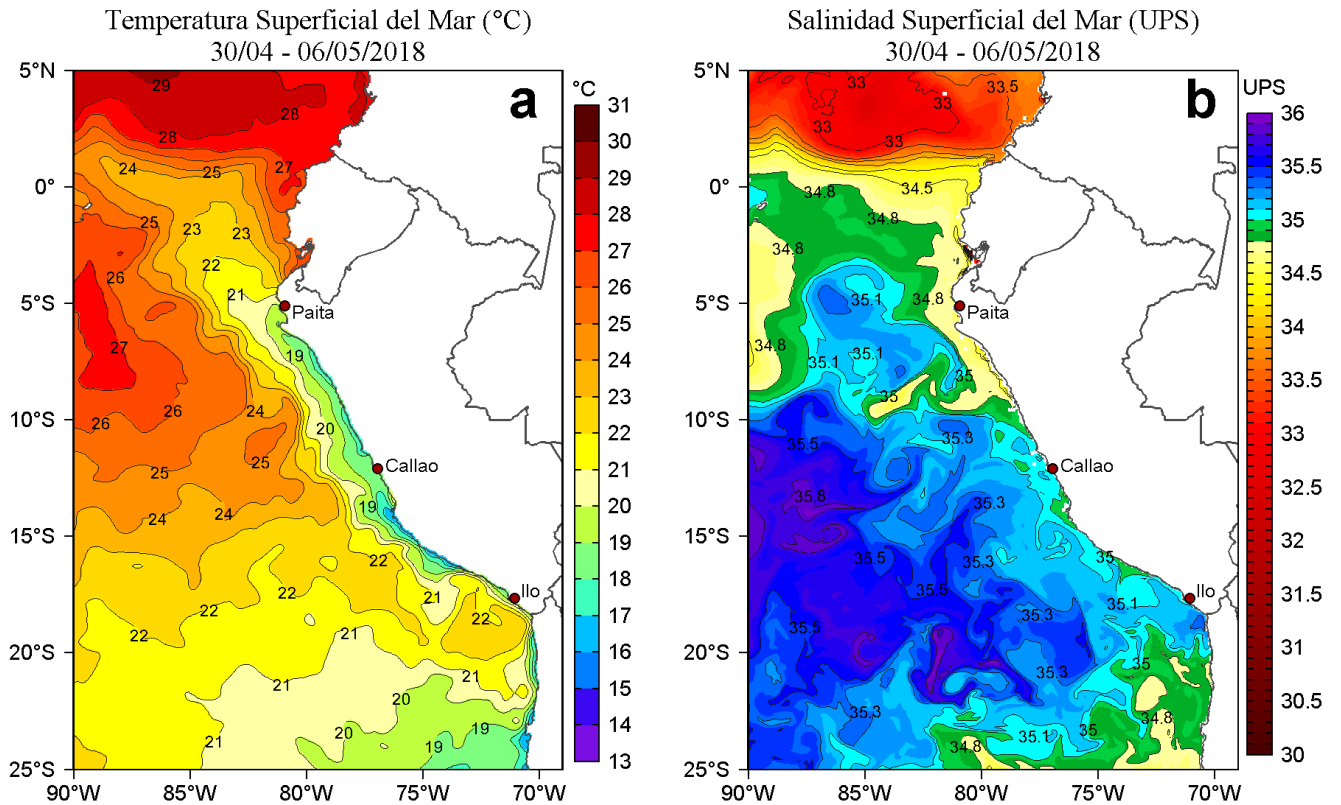


Figura 1. Distribución espacial promedio de: a) Temperatura Superficial del Mar (TSM, °C) y b) Salinidad Superficial del Mar (SSM, UPS) para la semana del 30 de abril al 06 de mayo de 2018 en el océano Pacífico tropical oriental. Datos: OSTIA-UKMO-L4-GLOB-v2.0 (UK Met Office, 2012; Donlon et al, 2012) disponible en <https://podaac.jpl.nasa.gov/dataset/OSTIA-UKMO-L4-GLOB-v2.0> para (a) y del Hybrid Coordinate Ocean Model (HYCOM; Halliwell et al., 1998; 2000; Bleck, 2001) para (b). Las escalas de colores de la TSM como de la SSM se presentan a la derecha de cada gráfico. Procesamiento: LHF/AFIOF/DGIOCC/IMARPE.

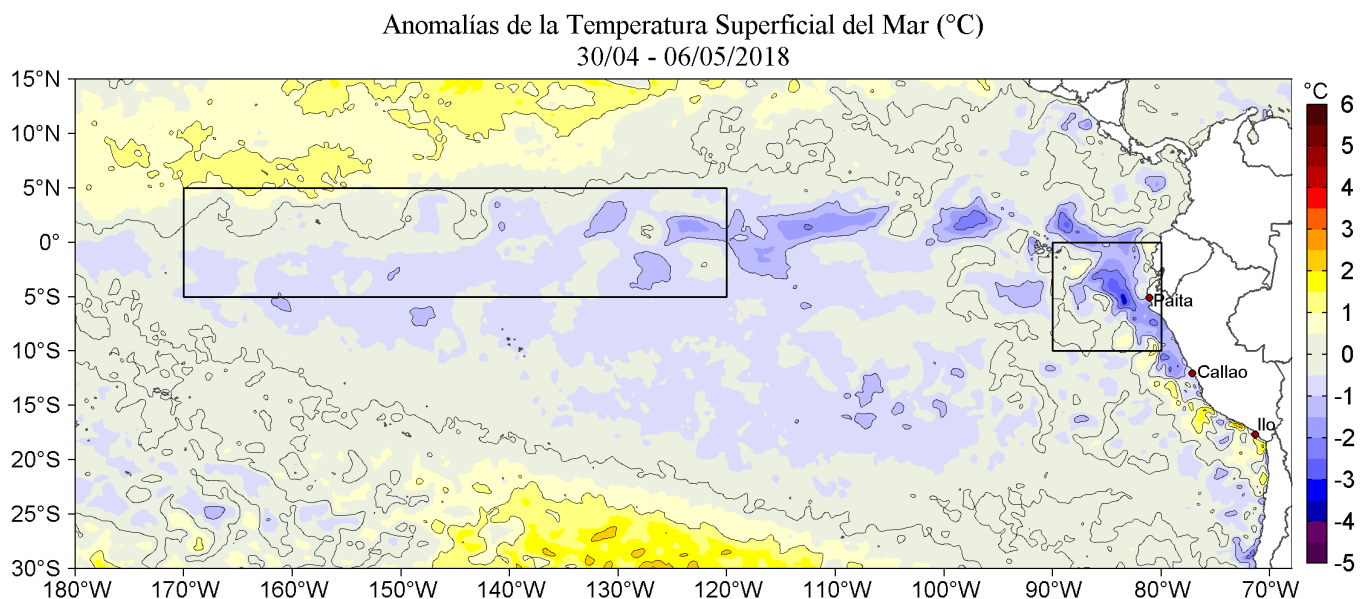


Figura 2. Anomalías promedio de la Temperatura Superficial del Mar (°C) en el océano Pacífico tropical para la semana del 30 de abril al 06 de mayo de 2018. Las regiones Niño 3.4 y Niño 1+2 en los sectores central y oriental del océano, respectivamente están delimitadas con una línea de color gris. Datos: OSTIA-UKMO-L4-GLOB-v2.0 (UK Met Office, 2012; Donlon et al, 2012) disponible en <https://podaac.jpl.nasa.gov/dataset/OSTIA-UKMO-L4-GLOB-v2.0>. Las anomalías se calcularon con respecto de la climatología para el período 2007-2016. Procesamiento: LHF/AFIOF/DGIOCC/IMARPE.

II. CONDICIONES LOCALES

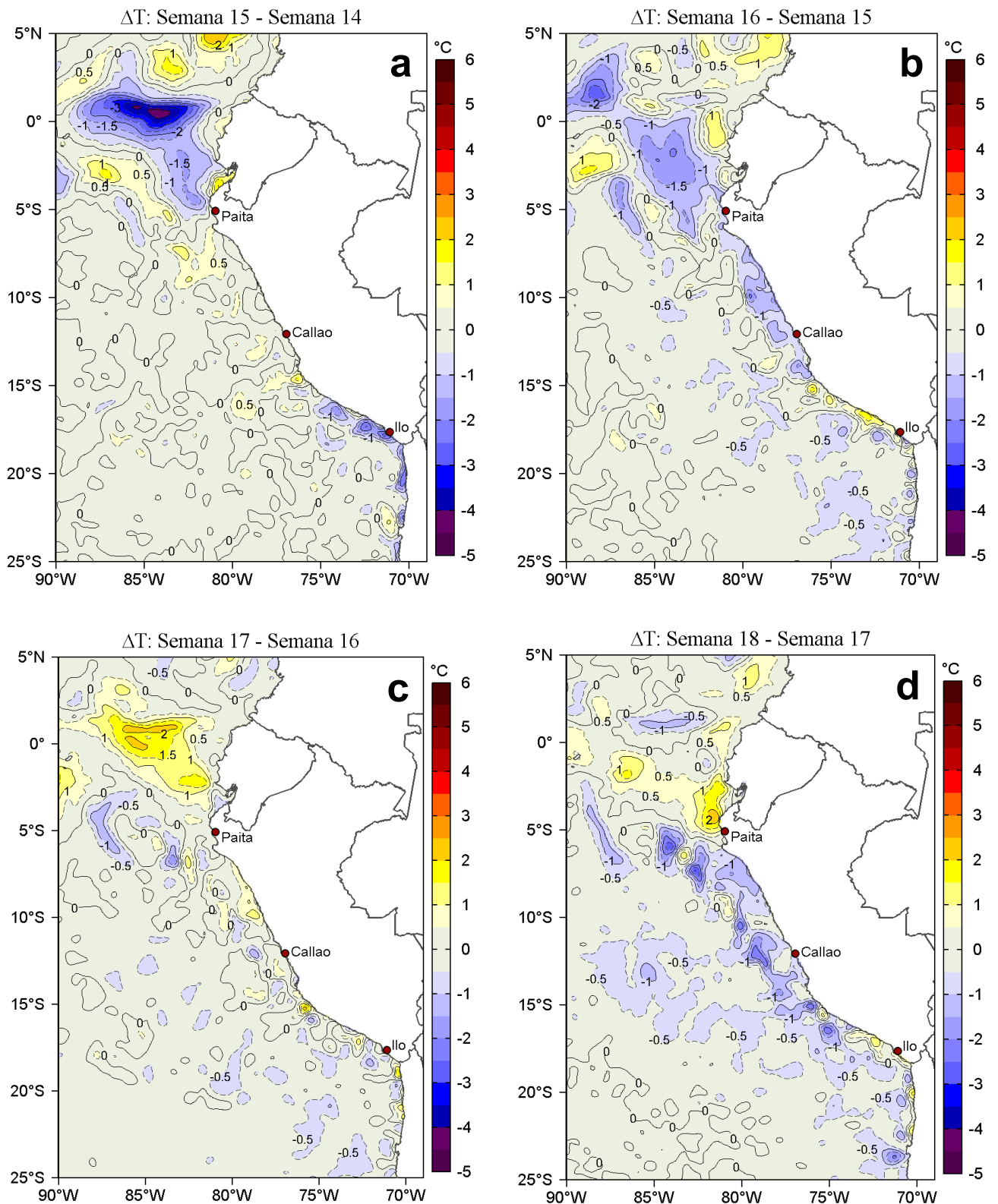


Figura 3. Variación semanal de la Temperatura Superficial del Mar (°C) en el océano Pacífico tropical oriental entre: a) quinceava (09-15 de abril) y catorceava (02-08 de abril) semana del 2018, b) dieciseisava (16-22 de abril) y quinceava (09-15 de abril) semana del 2018, c) diecisieteava (23-29 de abril) y dieciseisava (16-22 de abril) semana del 2018 y d) dieciochoava (30 de abril - 06 de mayo) y diecisieteava (23-29 de abril) semana del 2018. Los mapas, que indican el grado de calentamiento o enfriamiento de una semana a otra, provienen de OSTIA-UKMO-L4-GLOB-v2.0 (UK Met Office, 2012; Donlon et al, 2012). La barra de colores a la derecha muestra la diferencia de la temperatura entre la presente y la semana previa. Procesamiento: LHF/AFIOF/DGIOCC/IMARPE.

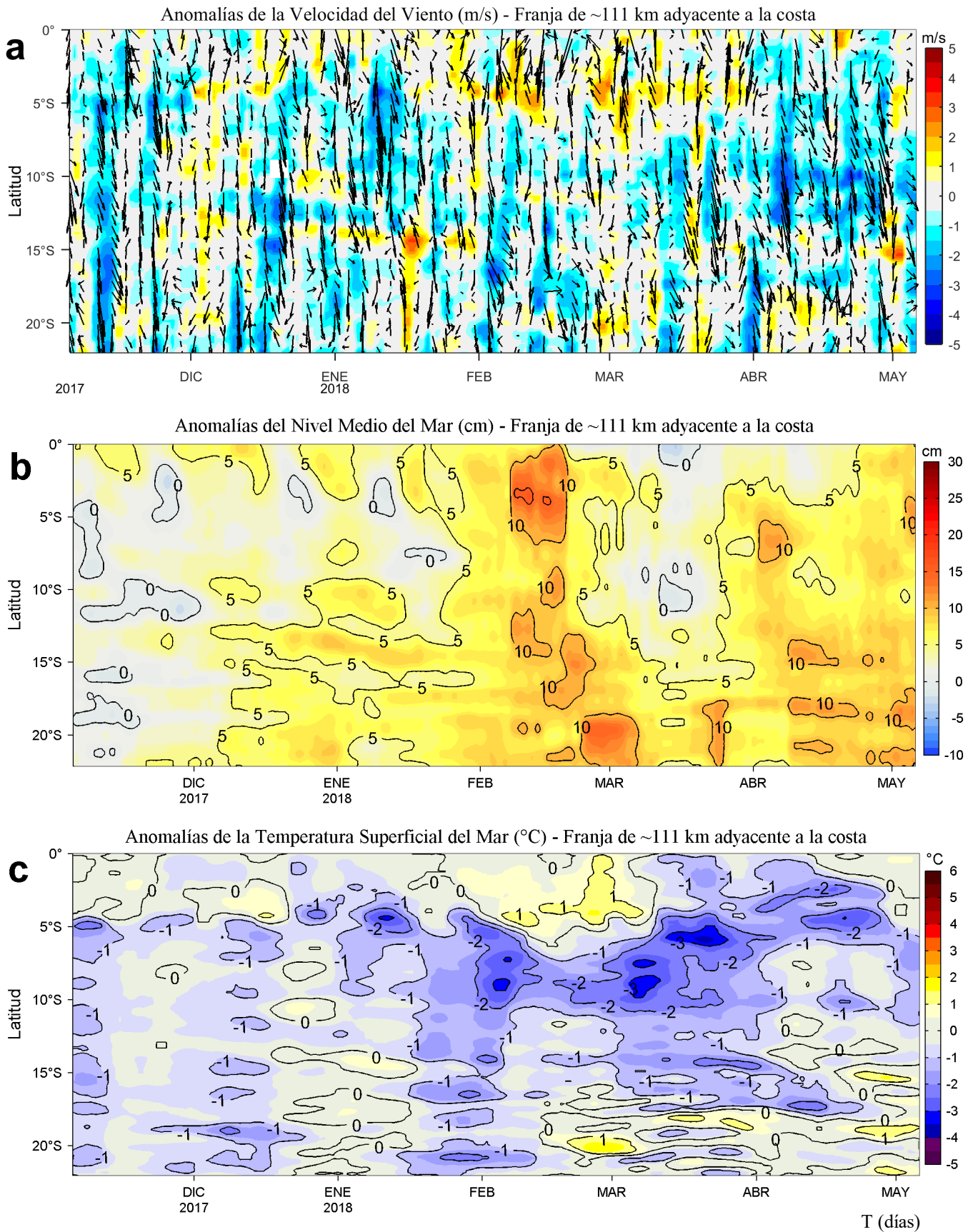


Figura 4. Evolución de las anomalías diarias de: a) Velocidad del viento (m/s), b) Nivel medio del mar (cm), c) Temperatura Superficial del Mar (°C) para el último semestre actualizado al 06 de mayo de 2018. Datos: de IFREMER/CERSAT para (a), del Servicio de Monitoreo del Ambiente Marino Copernicus (CMEMS, según sus siglas en inglés) para (b), de OSTIA-UKMO-L4-GLOB-v2.0 para (c). Las anomalías fueron calculadas para una franja de 111 km adyacente a la costa entre el ecuador y 22°S según los promedios climatológicos diarios de 2000-2014 para (a), de 1993-2013 para (b) y de 2007-2016 para (c). La barra de colores a la derecha muestra la escala de las anomalías en cada caso. Procesamiento: LHF/AFIOF/DGIOCC/IMARPE.

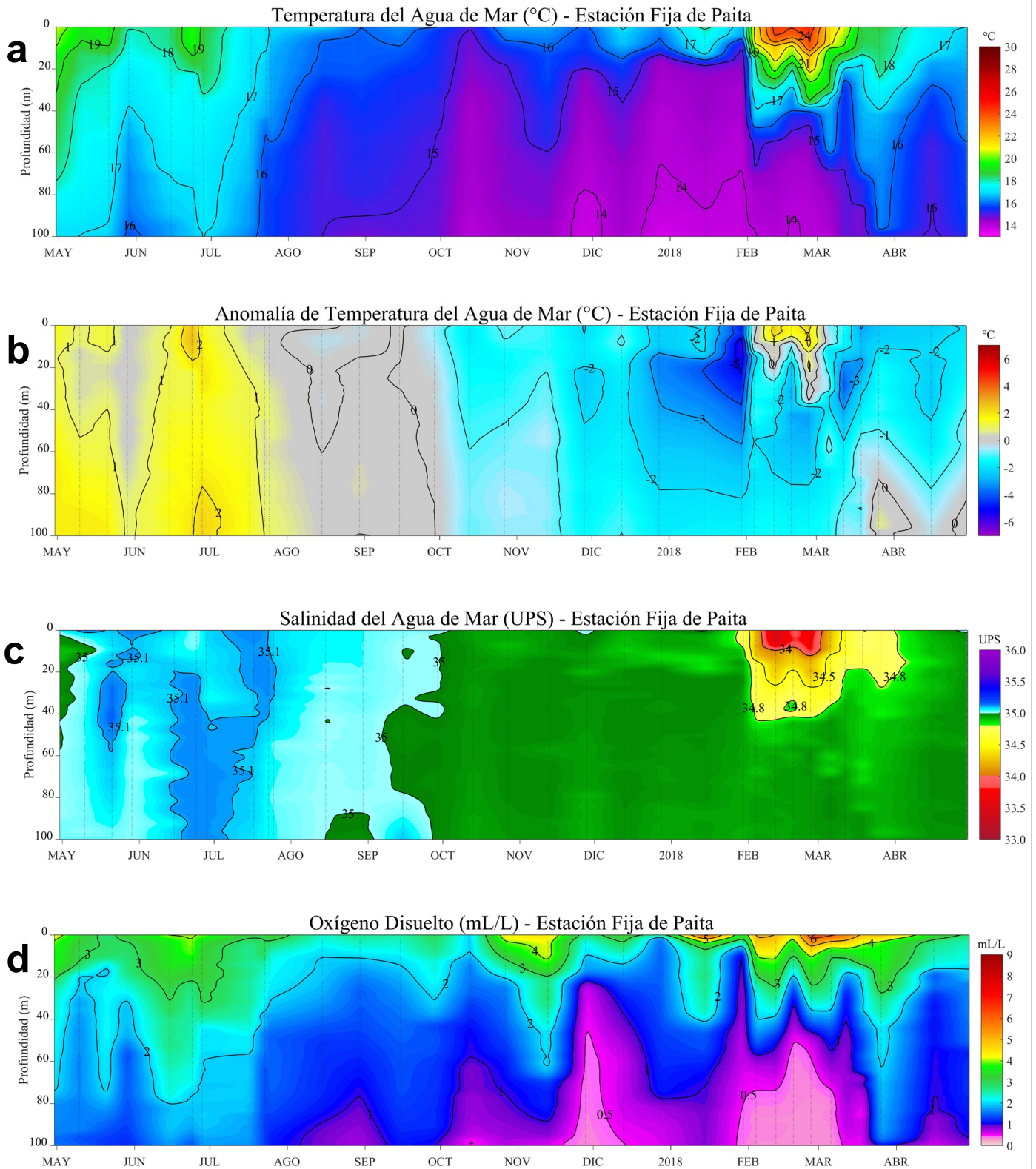


Figura 5. Evolución de: a) Temperatura del agua de mar (°C), b) Anomalías térmicas (°C), c) Salinidad del agua de mar (UPS), d) Contenido de Oxígeno disuelto (mL/L) para la estación fija Paita, localizada a 7 mn de esta localidad, durante los últimos doce meses al 30 de abril de 2018. Las anomalías de la temperatura del agua (°C), salinidad (UPS) y de oxígeno disuelto (mL/L) se calcularon en base al promedio climatológico de 1981-2010 de acuerdo a Anculle, *et al* (2015). Los puntos en la columna de agua indican los días en que se realizó la estación fija Paita. Datos: Monterrey Bay Aquarium Research Institute (MBARI) para el periodo de 1982 a mayo de 2013, así como de IMARPE para el período de 2013 al 15 de junio de 2016. Procesamiento: LHFm/AFIOF/DGIOCC/IMARPE.

III. ÍNDICES CLIMÁTICOS Y BIOLÓGICO-PESQUEROS

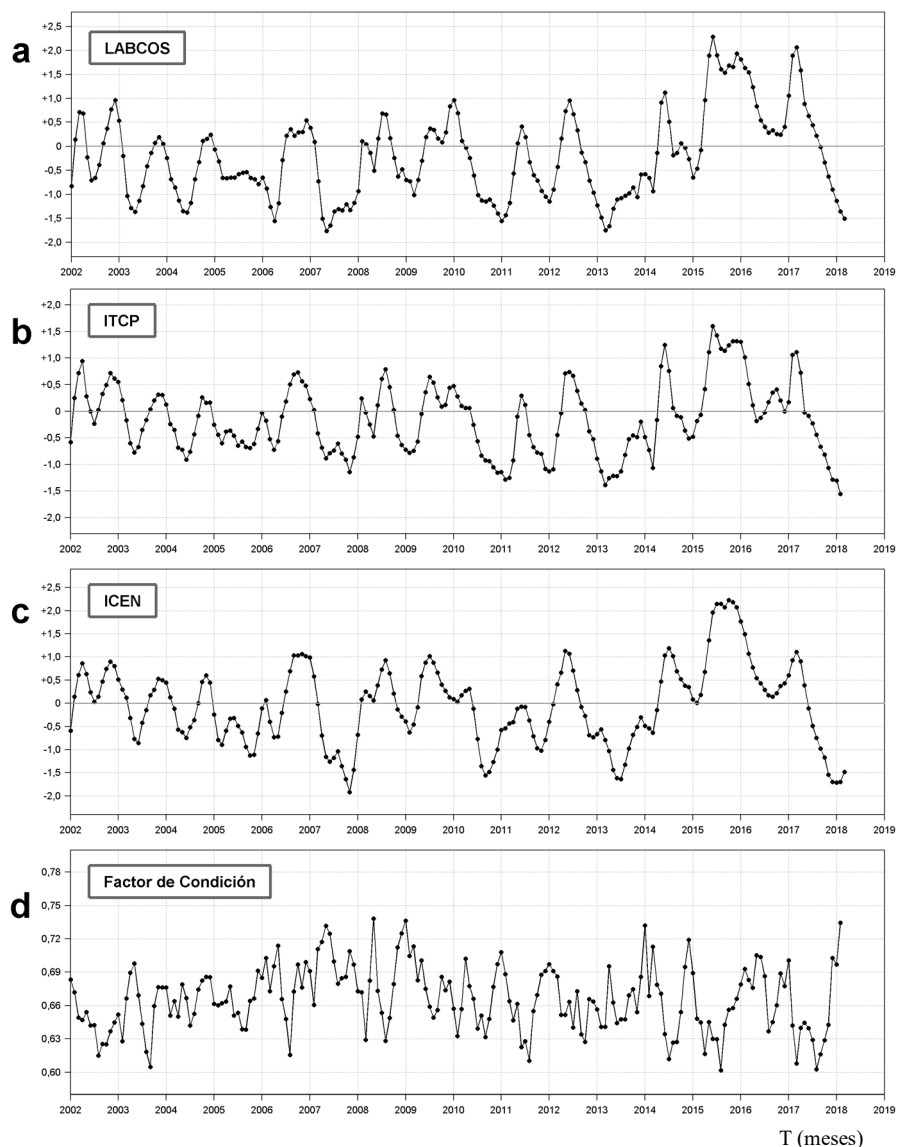


Figura 6. a) Series de tiempo de Índices climáticos y biológico-pesqueros: a) Índice LABCOS, b) Índice Térmico Costero Peruano (ITCP), c) Índice Costero El Niño (ICEN) y d) Factor de Condición (%) de la anchoveta en la región norte-centro desde enero de 2002. La metodología para estimar estos índices se encuentran en Quispe y Vásquez (2015), Quispe et al (2016), Takahashi, et al. (2014) y Perea et al (2015), respectivamente. Procesamiento: LHF/AFIOF/DGIOCC/IMARPE.

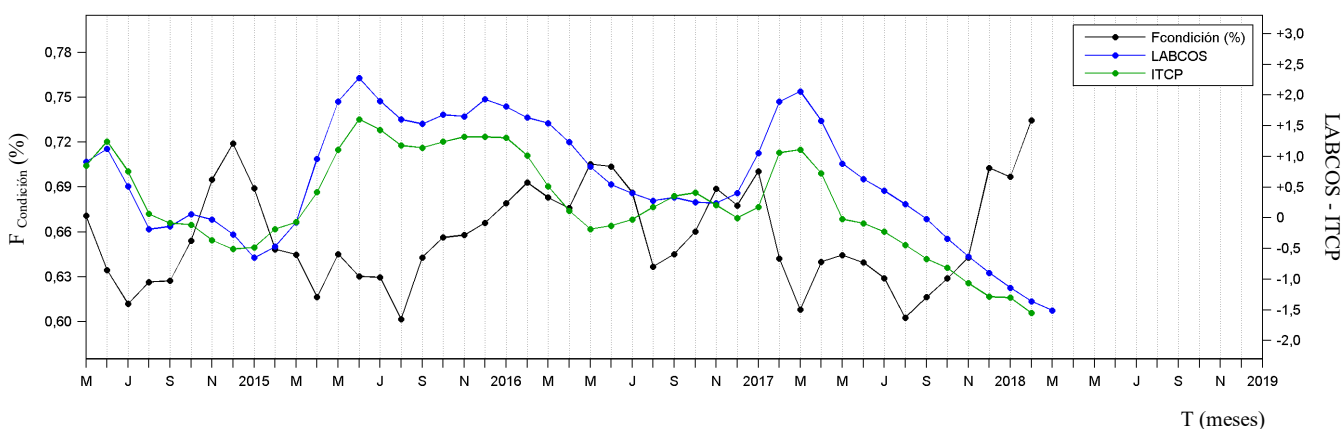


Figura 7. Series de tiempo mensual del Índice LABCOS (línea punteada de color azul), del Índice Térmico Costero Peruano (ITCP, línea de color verde) y el Factor de Condición (%), en color negro) desde mayo de 2014. La metodología para estimar estos índices se encuentran en Quispe y Vásquez (2015), Quispe et al (2016), Takahashi, et al. (2014) y Perea et al (2015), respectivamente. Procesamiento: LHF/AFIOF/DGIOCC/IMARPE.

REFERENCIAS

Anculle, T., D. Gutiérrez, A. Chaigneau, F. Chávez, 2015. Anomalías del perfil vertical de temperatura del punto fijo Paita como indicador de la propagación de ondas Kelvin. En: Boletín Trimestral Oceanográfico, Volumen 1, Números 1-4, pp.: 8-10.

Ángel Perea, Betsy Buitrón, Julio Mori, Javier Sánchez, Cecilia Roque, 2015. Anomalías de los Índices reproductivos de anchoveta *Engraulis ringens* en relación al ambiente. En: Boletín Trimestral Oceanográfico, Volumen 1, Números 1-4, pp.: 27-28.

Bleck, R., 2002: An oceanic general circulation model framed in hybrid isopycnic-Cartesian coordinates. Ocean Modeling, 4, 55-88.

Takahashi, K, K. Mosquera y J.Reupo. El Índice Costero El Niño (ICEN): historia y actualización. Boletín Técnico - Vol. 1 Nro. 2, Febrero del 2014.

Halliwel, G. R., Jr., R. Bleck, and E. Chassignet, 1998: Atlantic Ocean simulations performed using a new hybrid-coordinate ocean model. EOS, Fall 1998 AGU Meeting.

Halliwel, G. R., R. Bleck, E. P. Chassignet, and L.T. Smith, 2000: mixed layer model validation in Atlantic Ocean simulations using the Hybrid Coordinate Ocean Model (HYCOM). EOS, 80, OS304.

Quispe, J. y L. Vásquez, 2015. Índice "LABCOS" para la caracterización de evento El Niño y La Niña frente a la costa del Perú, 1976-2015. En: Boletín Trimestral Oceanográfico, Volumen 1, Números 1-4, pp.: 14-18.

Quispe Ccallauri, C, J. Tam, H. Demarcq, C. Romero, D. Espinoza, A. Chamorro, J. Ramos, R. Oliveros, 2016. El Índice Térmico Costero Peruano. En: Boletín Trimestral Oceanográfico, Volumen 2, Número 1, pp: 7-11.

Reynolds, R. W., T. M. Smith, C. Liu, D. B. Chelton, K. S. Casey, and M. G. Schlax, 2007: Daily high-resolution-blended analyses for sea surface temperature. Journal of Climate, 20, 5473-5496, doi:10.1175/JCLI-D-14-00293.1.

RECONOCIMIENTOS

Los datos de temperatura superficial del mar de alta resolución fueron provistos por la NOAA/OAR/ESRL/PSD, Boulder, Colorado, Estados Unidos, de su sitio web <http://www.esrl.noaa.gov/psd/>. Los datos de vientos se colectaron de IFREMER/CERSAT. 2005. NSCAT Level 3 Gridded Mean Wind Fields (IFREMER). Ver. 1. PO.DAAC, CA USA. Data set accessed [YYY-MM-DD]. <ftp://ftp.ifremer.fr/ifremer/cersat/products/gridded/MWF/L3/ASCAT/Daily/>. Los productos de altimetría Ssalto/Duacs fueron producidos y distribuidos por Copernicus Marine and Environment Monitoring Service (<http://www.marine.copernicus.eu>).



El contenido del Boletín se puede reproducir citándolo así: Boletín Semanal Oceanográfico y Biológico-Pesquero [en línea]. Callao, Instituto del Mar del Perú. Año 3, N°18, 07 de mayo de 2018. http://www.imarpe.pe/imarpe/index.php?id_seccion=i0178020400000000000000.

© 2018 Instituto del Mar del Perú.
Esquina Gamarra y General Valle, Chucuito, Callao - Perú.

Hecho el Depósito Legal en la Biblioteca Nacional del Perú N°2016-02931.

Consultas: Servicios y Productos Oceanográficos/AFIOF/DGIOCC/IMARPE.
Correo electrónico: lhf_m_productos@imarpe.gob.pe.
Teléfono: (51 1) 208 8650 (Extensión 828).

Suscripciones: Complete [este formulario](#).